

Gruppo Babbeto
Nicolò Mazullo, Giacomo Forni, Pietro Pontiroli,
Edoardo Scolaro, Mattia Paoletti

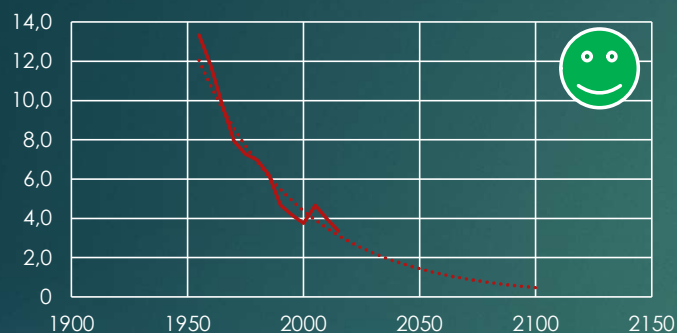
Eastern Asia: Japan, North-Sud Korea, Mongolia

PREVISIONI AL 2100 DEGLI
ANDAMENTI DEI PARAMETRI DI
FERTILITÀ E NATALITÀ DELL'AREA
PRESA IN ESAME

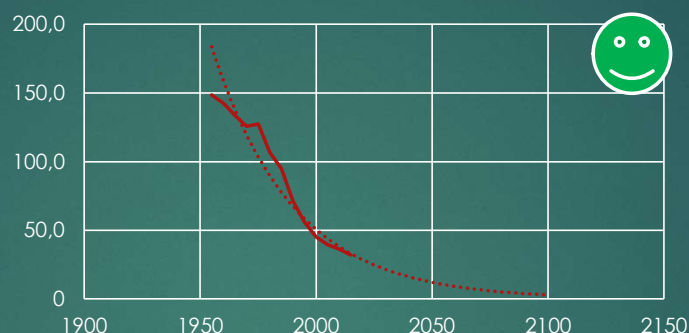


FERTILITY EASTERN ASIA

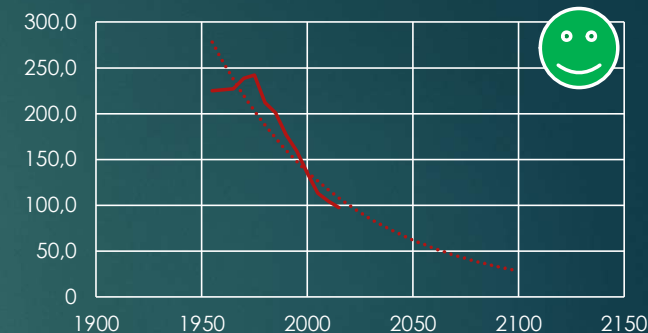
15-19



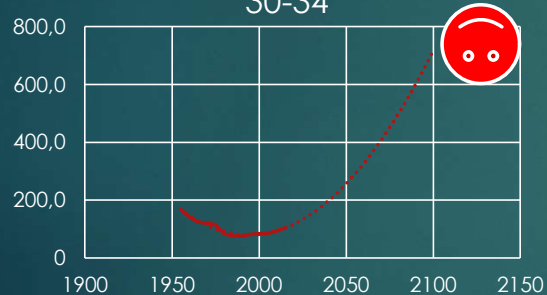
20-24



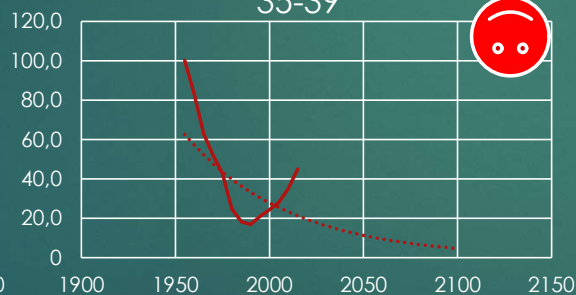
25-29



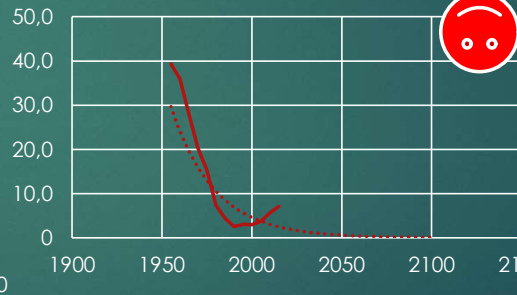
30-34



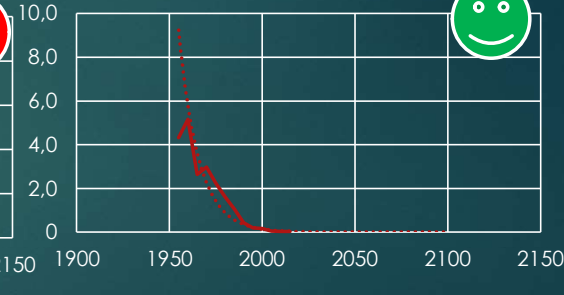
35-39



40-44



45-49



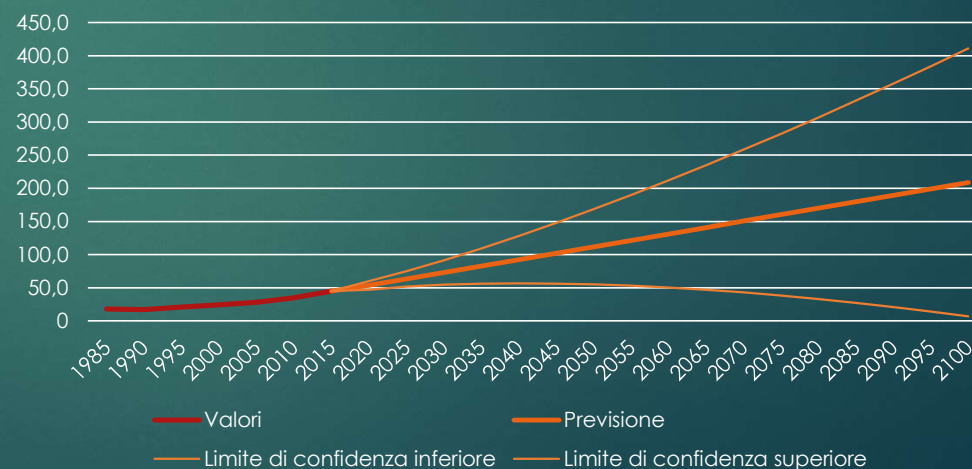
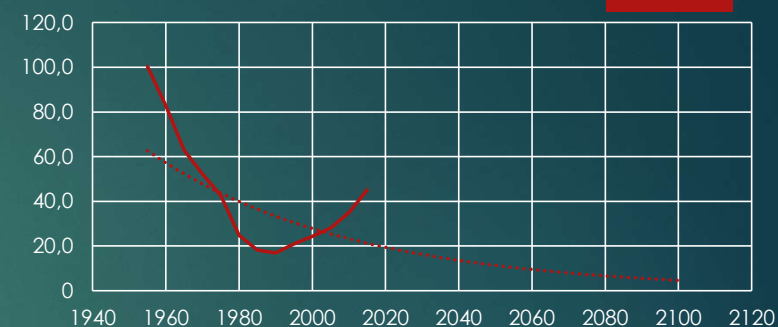
Sono riportate le previsioni del parametro fertilità, di tutte le classi fertili, seguendo un modello esponenziale. Abbiamo però notato che questo tipo di interpolazione sembra essere adeguata solo per alcune fasce d'età; abbiamo quindi preferito utilizzare un metodo diverso per quelle che non ci apparivano ben rappresentate. Nella slide seguente è riportato l'andamento della fertilità della fascia 35-39 ottenuto grazie ad un foglio di previsione che sfrutta in input i dati dal 1985

Fertilità 35-39

Notiamo che, con il secondo metodo di previsione, otteniamo un' interpolazione più precisa che si adatta meglio all'andamento crescente riscontrato dal 1985 in poi, ragionamenti analoghi possono essere svolti sulle altre fasce in cui la curva esponenziale non interpola in modo preciso

Sequenza temporale	Valori	Previsione	Limite di confidenza inferiore	Limite di confidenza superiore
1985	18,2			
1990	16,9			
1995	20,9			
2000	24,4			
2005	28,1			
2010	35,0			
2015	45,1	45,1	45,1	45,1
2020		53,6	47,3	60,0
2025		63,3	51,8	74,8
2030		73,0	54,6	91,4
2035		82,7	56,2	109,3
2040		92,4	56,7	128,1
2045		102,1	56,3	147,9
2050		111,8	55,1	168,5
2055		121,5	53,1	189,9
2060		131,2	50,4	212,0
2065		140,9	47,0	234,8
2070		150,6	43,0	258,2
2075		160,3	38,4	282,2
2080		170,0	33,1	306,9
2085		179,7	27,4	332,0
2090		189,4	21,0	357,8
2095		199,1	14,2	384,0
2100		208,8	6,8	410,8

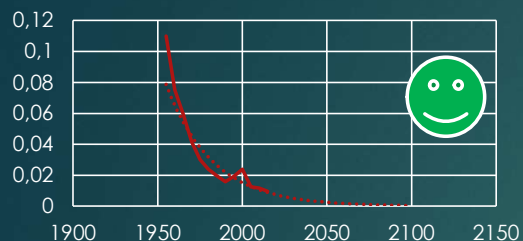
35-39



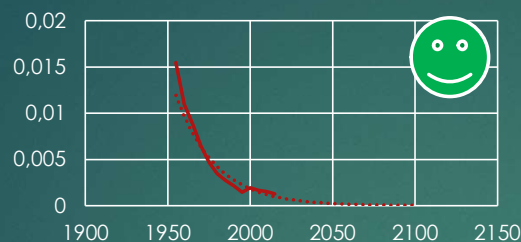
— Valori — Previsione
 — Limite di confidenza inferiore — Limite di confidenza superiore

MORTALITY EASTERN ASIA

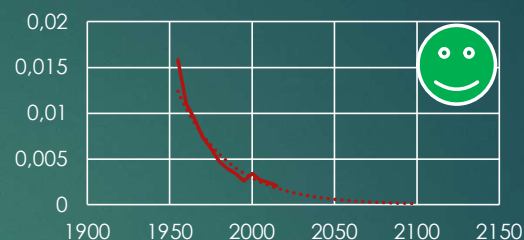
mortalità 0



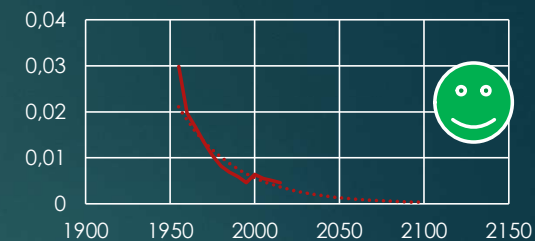
mortalità 5



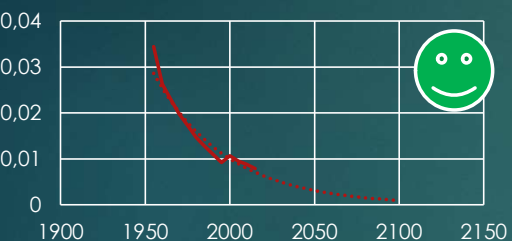
mortalità 15



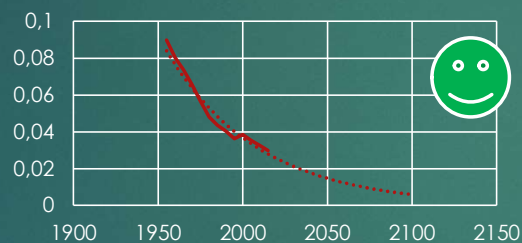
mortalità 30



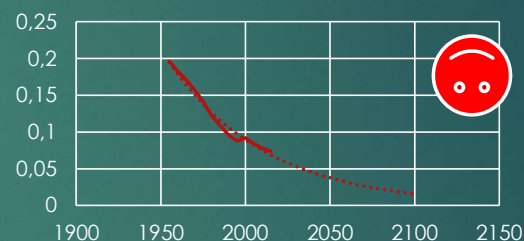
mortalità 40



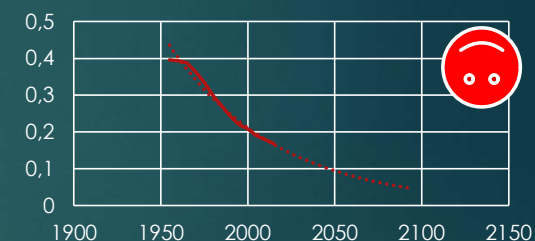
mortalità 55



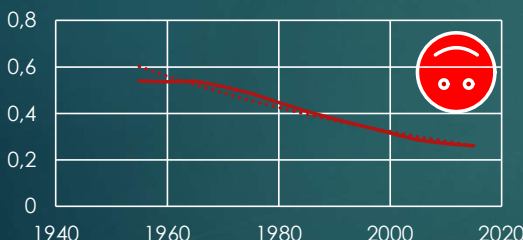
mortalità 65



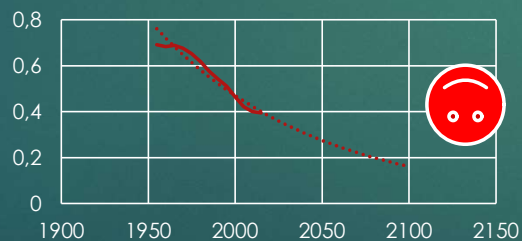
mortalità 75



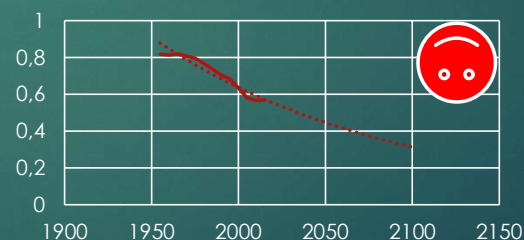
mortalità 80



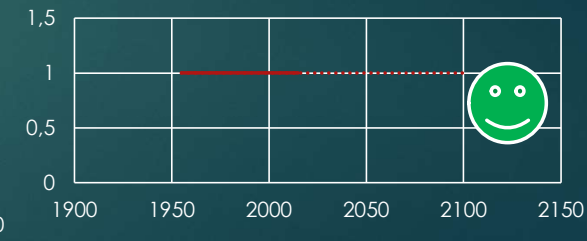
mortalità 85



mortalità 90



mortalità 95



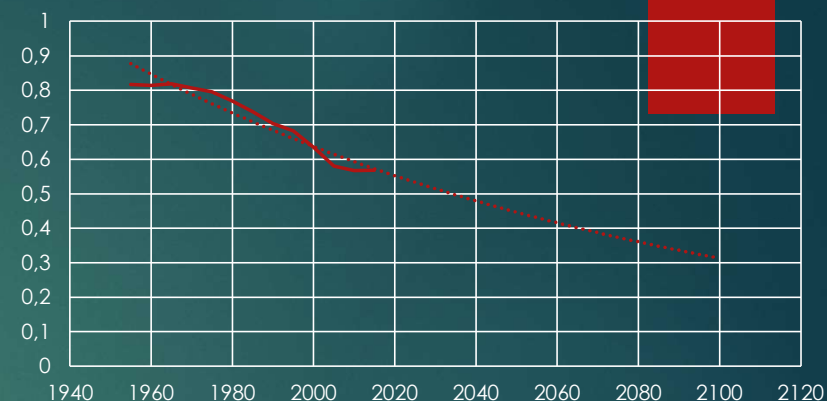
Sono riportate le previsioni della mortalità delle classi più rappresentative (classi vicine possono avere comportamenti molto simili); anche in questo caso un modello di previsione esponenziale ci è sembrato corretto solo per alcune fasce di età. Per le fasce più alte l'utilizzo di un foglio di previsione ci ha permesso di ottenere dei risultati più attendibili (meno decrescenti nel tempo). Nella slide seguente è riportato il risultato che abbiamo ottenuto per la fascia 90-95

Mortalità 90enni

Nella tabella sottostante sono riportate le previsioni lustro per lustro della mortalità per gli individui appartenenti alla fascia di età 90-95. Notiamo che con la proiezione 2 si ottengono dei valori più realistici in quanto prendiamo in considerazione solo i dati post 2005

Sequenza temp	Valo	Previsi	Limite di confidenza	Limite di confidenza
2005	0,58			
2010	0,5666			
2015	0,5687	0,5686664	0,57	0,57
2020		0,5609923	0,55	0,57
2025		0,5546977	0,55	0,56
2030		0,5484031	0,54	0,56
2035		0,5421085	0,53	0,55
2040		0,5358139	0,52	0,55
2045		0,5295193	0,52	0,54
2050		0,5232247	0,51	0,54
2055		0,5169301	0,50	0,53
2060		0,5106355	0,49	0,53
2065		0,5043409	0,48	0,52
2070		0,4980463	0,48	0,52
2075		0,4917518	0,47	0,52
2080		0,4854572	0,46	0,51
2085		0,4791626	0,45	0,51
2090		0,472868	0,44	0,51
2095		0,4665734	0,43	0,50
2100		0,4602788	0,42	0,50

mortalità 90



2)

